

ЛОКАЛЬНАЯ СИММЕТРИЯ РЕШЕТОК $Pb_{1-x}Sn_xTe$ В ОБЛАСТИ БЕСЩЕЛЕВОГО СОСТОЯНИЯ

© В.Ф.Мастеров, Ф.С.Насрединов, С.А.Немов, П.П.Серегин

Санкт-Петербургский государственный технический университет,
195251 Санкт-Петербург, Россия
(Поступила в Редакцию 3 апреля 1996 г.)

Методом мессбауэровской спектроскопии на изотопах ^{119}Sn и ^{129m}Te (^{129}I) показано, что для твердых растворов $Pb_{1-x}Sn_xTe$ в области существования бесщелевого состояния как при 80, так и при 295 K не наблюдаются изменения локальной симметрии узлов, электронной структуры атомов и интенсивности электрон-фононного взаимодействия.

В системе $Pb_{1-x}Sn_xTe$ существует непрерывный ряд твердых растворов с решеткой типа NaCl, в которых наблюдается инверсия зон с бесщелевым состоянием при $x = 0.62$ и 0.40 при 295 и 80 K соответственно [1]. В поисках аномалий свойств этих твердых растворов были проведены их мессбауэровские исследования на изотопе ^{119}Sn [2,3] и были обнаружены особенности на зависимостях квадрупольного расщепления, изомерного сдвига и доли «безотдачного» поглощения (коэффициента Мессбауэра) f от состава в области существования бесщелевого состояния. Эти аномалии интерпретировались в [2,3] как результат понижения симметрии окружения атомов олова, изменения концентрации электронов проводимости и усиления электрон-фононного взаимодействия в бесщелевом состоянии. Следует подчеркнуть, что эти результаты противоречат данным более поздних исследований твердых растворов $Pb_{1-x}Sn_xTe$ методом мессбауэровской спектроскопии [4]. Отметим также и некоторые методические несовершенства работ [2,3]. Во-первых, в качестве источника гамма-квантов использовалась двуокись олова, для которой спектральная линия уширена более чем вдвое по сравнению с естественной шириной W_{nat} , что очевидно, снижает надежность определения величин квадрупольного расщепления и экспериментальной ширины линии. Во-вторых, измерение величин f проводилось путем сопоставления площадей под нормированными спектрами, однако не учитывались эффекты нерезонансного поглощения гамма-квантов атомами свинца и теллура. Наконец, существенным недостатком проведенных исследований является отсутствие аналогичных данных для подрешетки теллура.

Все эти обстоятельства побудили нас предпринять исследование твердых растворов $Pb_{1-x}Sn_xTe$ ($0 < x < 1$) методом мессбауэровской спектроскопии на изотопах ^{119}Sn (абсорбционный вариант спек-

троскопии) и $^{129m}\text{Te}(^{129}\text{I})$ (эмиссионный вариант спектроскопии) с целью обнаружить возможные изменения локальной симметрии катионных и анионных узлов, электронной структуры атомов в них, а также электрон-фононного взаимодействия в области бесщелевого состояния.

Твердые растворы $\text{Pb}_{1-x}\text{Sn}_x\text{Te}$ синтезировали методом сплавления исходных компонент полупроводниковой чистоты в вакуумированных до 10^{-2} mm Hg кварцевых ампулах с последующим отжигом вначале слитков, а затем спрессованных порошков при 650°C в течение 120 h. Шихта составлялась с учетом того, что область гомогенности твердых растворов, обогащенных теллуридом олова, соответствует некоторому избытку теллура относительно стехиометрического состава (приблизительно 50.1 at. % Te [1]). Рентгенофазовый анализ показал однофазность всех исследованных образцов (они имели структуру типа NaCl). Для сплавов, обогащенных теллуридом свинца, зависимость периода решетки твердого раствора от состава была линейной, а при $x > 0.7$ наблюдалось отклонение от закона Вегарда. Все образцы обладали дырочной проводимостью (при 80 K концентрация дырок менялась от 10^{17} cm^{-3} для PbTe до 10^{21} cm^{-3} для SnTe).

Для проведения мессбауэровских исследований на изотопе ^{119}Sn синтез образцов проводился с использованием олова, обогащенного до 96% изотопом ^{119}Sn . Для проведения мессбауэровских исследований на изотопе $^{129m}\text{Te}(^{129}\text{I})$ синтез образцов проводился с использованием радиоактивного препарата ^{129m}Te (элементарный теллур, обогащенный до 92% изотопом ^{128}Te и облученный в течение 30 суток потоком тепловых нейтронов $5 \cdot 10^{13}$ $\text{cm}^2 \cdot \text{s}^{-1}$).

Мессбауэровские спектры ^{119}Sn и $^{129m}\text{Te}(^{129}\text{I})$ снимались на спектрометре СМ 2201, а их обработка проводилась на ЭВМ. Спектры ^{119}Sn снимались при 80 и 295 K, а спектры $^{129m}\text{Te}(^{129}\text{I})$ — при 80 K, причем температура источника и поглотителя были одинаковыми.

Стандартным источником для измерения абсорбционных мессбауэровских спектров ^{119}Sn служил $\text{Ca}^{119m}\text{SnO}_3$. Определение доли безотдачного поглощения гамма-квантов f проводилось с использованием зависимости [5]

$$W_{\text{exp}} = W_a + W_s + 0.27W_{\text{nat}}, \quad (1)$$

где $t = n\sigma_0 f$, n — поверхностная плотность поглотителей по изотопу ^{119}Sn ($\text{at} \cdot \text{cm}^{-2}$), $\sigma_0 = 1.4 \cdot 10^{-18}$ cm^2 — максимальное сечение поглощения в резонансе, W_{exp} — ширина экспериментального спектра, W_a , W_s — ширины спектральных линий поглотителя и источника соответственно, $W_{\text{nat}} = 0.3235$ $\text{mm} \cdot \text{s}^{-1}$ — естественная ширина спектральной линии ^{119}Sn . При измерениях использовался набор поглотителей с поверхностной плотностью от 0.02 до 2.0 $\text{mg} \cdot \text{cm}^{-2}$ по изотопу ^{119}Sn . Соотношение (1) справедливо при $(W_{\text{nat}}/W_a)t < 5$, и это условие выполнялось для всех исследованных твердых растворов и всех использованных поглотителей. Существенно, что описанный метод определения f не требует учета фоновых гамма-квантов. На рис. 1 приведены типичные результаты определения f для твердых растворов с $x = 0, 0.4, 1.0$ при 80 K. Экстраполяция зависимостей (1) к $t = 0$ позволяет определить также ширину экспериментального спектра в пределе бесконечно тонкого

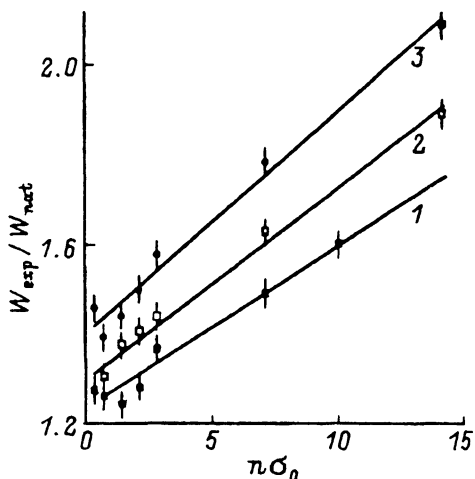


Рис. 1. Зависимости $W_{\text{exp}}/2W_{\text{nat}}$ от $n\sigma_0$ для мессбауэровских спектров ^{119}Sn твердых растворов $\text{Pb}_{1-x}\text{Sn}_x\text{Te}$ при 80 К.
 x: 1 — 0.02, 2 — 0.4, 3 — 1.0.

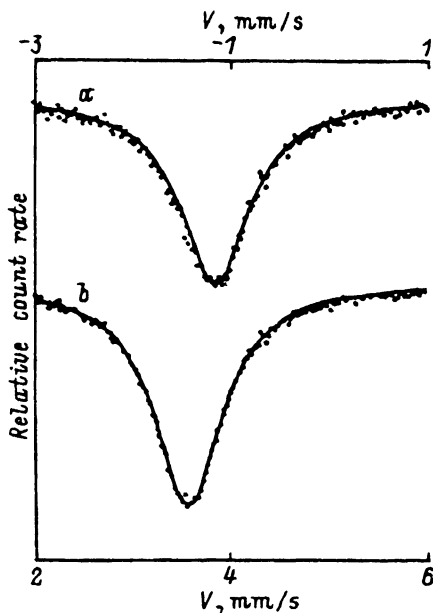


Рис. 2. Мессбауэровские спектры $^{129m}\text{Te}(^{129}\text{I})$ (поглотитель K^{129}I с поверхностной плотностью $3 \text{ mg}\cdot\text{cm}^{-2}$ по изотопу ^{129}I) (a) и ^{119}Sn (поглотитель с поверхностной плотностью $0.1 \text{ mg}\cdot\text{cm}^{-2}$ по изотопу ^{119}Sn) (b) твердого раствора $\text{Pb}_{0.6}\text{Sn}_{0.4}\text{Te}$, измеренные при 80 К.

поглотителя W_0 (рис. 1). Отметим, что интерес представляет зависимость от состава именно величины W_0 , а не W_{exp} , поскольку последняя весьма чувствительна к выбранной поверхностной плотности поглотителя (например, для поглотителя SnTe с $1 \text{ mg}\cdot\text{cm}^{-2}$ ($n = 5 \cdot 10^{18} \text{ at}\cdot\text{cm}^{-2}$) переход от 295 до 80 К сопровождается увеличением W_{exp} от 0.98 до $1.40 \text{ mm}\cdot\text{s}^{-1}$).

При исследовании твердых растворов $\text{Pb}_{1-x}\text{Sn}_x\text{Te}$ методом эмиссионной мессбауэровской спектроскопии на изотопе $^{129m}\text{Te}(^{129}\text{I})$ проводилось измерение площадей S под нормированными мессбауэровскими спектрами с использованием поглотителя K^{129}I с поверхностной плотностью $15 \text{ mg}\cdot\text{cm}^{-2}$ по изотопу ^{129}I . Спектр гамма-квантов, испускаемых ядрами ^{129m}Te , наряду с линией 27.77 keV , отвечающей переходу ядра ^{129}I из первого возбужденного состояния в основное состояние, содержит также $K\alpha$ - и $K\beta$ -линии рентгеновского излучения теллура, возникающего за счет внутренней конверсии изомерного перехода 106 keV в ^{129m}Te (энергии $K\alpha_2$ -, $K\alpha_1$ -, $K\beta_3$ и $K\beta_1$ -линий равны соответственно 27.1, 27.5, 30.9 и 31.0 keV). Таким образом, олово является критическим фильтром по отношению к $K\beta$ -линиям (энергия связи K -электронов олова составляет 29.2 keV). Поэтому при измерении S во всех источниках выдерживалось постоянное соотношение свинца, олова и теллура путем добавления необходимых количеств нерадиоактивных PbTe или SnTe , что создавало условия для одинакового нерезонансного погло-

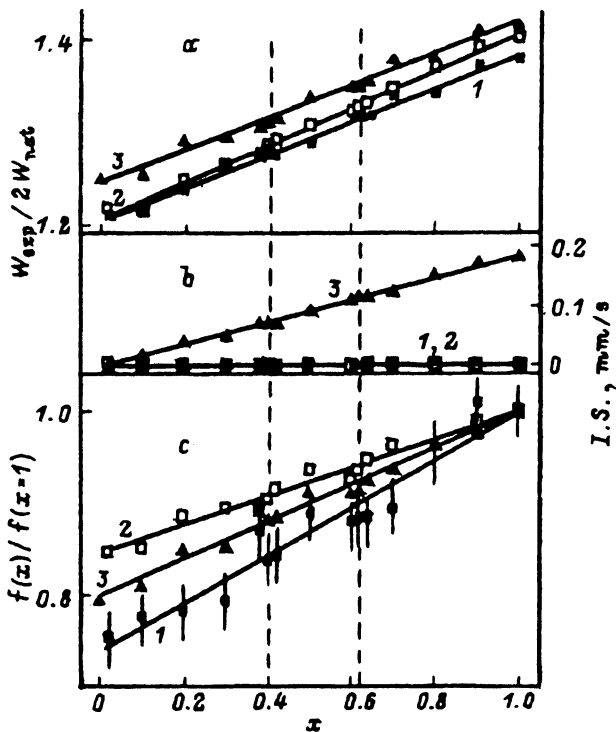


Рис. 3. Зависимости ширины экспериментальных спектров W_{exp} (в единицах удвоенной естественной ширины $2W_{\text{nat}}$) (a), изомерного сдвига I.S. (относительно PbTe при соответствующих температурах) (b) и отношения коэффициентов Мессбауэра $f(x)/f(x=1)$ (c) от состава твердого раствора $\text{Pb}_{1-x}\text{Sn}_x\text{Te}$.

1 — данные для ^{119}Sn при 295 К, 2 — данные для ^{119}Sn при 80 К, 3 — данные для $^{129\text{m}}\text{Te}(^{129}\text{I})$ при 80 К. Штриховыми линиями показаны составы, для которых бесщелевое состояние реализуется при 80 и 295 К.

щения в источниках. Таким образом, отношение площадей под нормированными спектрами двух различных твердых растворов можно рассматривать как отношение их коэффициентов Мессбауэра. Были также измерены мессбауэровские спектры $^{129\text{m}}\text{Te}(^{129}\text{I})$ твердых растворов $\text{Pb}_{1-x}\text{Sn}_x\text{Te}$ с использованием поглотителей K^{129}I различной поверхностной плотности (от 1.5 до $15 \text{ mg}\cdot\text{cm}^{-2}$ по изотопу ^{129}I): экстраполяция зависимости (1) к $t = 0$ позволяет определить ширину спектра в пределе бесконечно тонкого поглотителя W_0 .

Мессбауэровские спектры ^{119}Sn и $^{129\text{m}}\text{Te}(^{129}\text{I})$ всех образцов $\text{Pb}_{1-x}\text{Sn}_x\text{Te}$ представляли собой одиночные линии (рис. 2), для которых ширины W_0 близки к удвоенной естественной ширине $2W_{\text{nat}}$ и лишь незначительно увеличиваются с ростом x , достигая максимального значения для теллурида олова (рис. 3, a). Последнее не является неожиданным, так как при возрастании в твердом растворе содержания олова расширяется область гомогенности, что приводит к росту концентрации неконтролируемых структурных дефектов и как результат, к увеличению ширины мессбауэровских спектров. Не обнаруживаются аномальных изменений ширины спектров в области бесщелевого состояния твердого раствора как при 80, так и при 295 К (рис. 3, a). Поэтому

можно сделать вывод о неизменной локальной симметрии как катионных, так и анионных узлов решеток твердых растворов $Pb_{1-x}Sn_xTe$ во всей области существования твердых растворов.

Изомерный сдвиг мессбауэровских спектров определяется химической природой атомов в локальном окружении мессбауэровского зонда. Поскольку при изменении состава твердого раствора $Pb_{1-x}Sn_xTe$ ближайшее окружение атомов олова остается неизменным (шесть атомов теллура в вершинах правильного октаэдра), то не является неожиданным постоянство изомерного сдвига мессбауэровских спектров ^{119}Sn , который для всех составов в пределах погрешности измерений совпадает с изомерным сдвигом спектра соединения $SnTe$ (рис. 3, *b*). Для мессбауэровского зонда $^{129m}Te(^{129}I)$ возрастание x приводит к постепенной замене атомов свинца в локальном окружении теллура (а следовательно, и дочернего ^{129}I , возникающего после распада материнского ^{129m}Te) на атомы олова. При этом уменьшается ионность химической связи атомов иода, и как результат должен возрастать изомерный сдвиг. Как видно из рис. 3, *b*, именно это и наблюдается для эмиссионных мессбауэровских спектров $^{129m}Te(^{129}I)$ при переходе от $PbTe$ к $SnTe$, а значения изомерных сдвигов отвечают одновалентному иоду I^- . Не наблюдается аномальных изменений электронной структуры атомов катионной и анионной подрешеток в области существования бесщелевого состояния.

Переход от $PbTe$ к $SnTe$ сопровождается монотонным возрастанием коэффициента Мессбауэра как для катионной, так и для анионной подрешеток (рис. 3, *c*). Такого поведения f и следовало ожидать исходя из близости дебаевских температур $PbTe$ (125 K) и $SnTe$ (130 K). Существенно, что и для зависимостей $f(x)$ не наблюдается аномальных изменений для составов вблизи бесщелевого состояния.

Таким образом, следует заключить, что мессбауэровская спектроскопия на изотопах ^{119}Sn и $^{129m}Te(^{129}I)$ не обнаруживает изменений ни локальной симметрии узлов, ни электронной структуры атомов, ни интенсивности электрон-фононного взаимодействия в твердых растворах $Pb_{1-x}Sn_xTe$ в области существования бесщелевого состояния.

Работа выполнена при финансовой поддержке Российского фонда фундаментальных исследований (грант № 96-02-16957-а).

Список литературы

- [1] Л.Е. Шелимова, В.Н. Томашик, В.И. Грыцив. Диаграммы состояния в полупроводниковом материаловедении: Системы на основе халькогенидов Si, Ge, Sn и Pb. Наука. М. (1991).
- [2] И.Н. Николаев, А.П. Шотов, А.Ф. Волков, В.П. Марьин. Письма в ЖЭТФ 21, 144 (1975).
- [3] И.Н. Николаев, В.П. Потапов, А.П. Шотов, Б.Е. Юрчакевич. Письма в ЖЭТФ 25, 185 (1977).
- [4] В.Ф. Мастеров, Ф.С. Насрединов, С.А. Немов, П.П. Серегин. ФТП 30, 5, 840 (1996).
- [5] D.A. O'Connor. Nucl. Instr. and Meth. 21, 2, 318 (1963).